
СИНТЕЗ И ТЕХНОЛОГИЯ ВЫСОКОМОЛЕКУЛЯРНЫХ СОЕДИНЕНИЙ

УДК 547.1'127

Н. Я. Кузьменко, М. В. Бугрим

СИНТЕЗ И СВОЙСТВА МОДЕЛЬНЫХ УРЕТАНОВ НА ОСНОВЕ КАРБОФУНКЦИОНАЛЬНЫХ БОРСОДЕРЖАЩИХ ОЛИГО- И ОЛИГОЭФИРОСПИРТОВ

ГВУЗ «Украинский государственный химико-технологический университет», г. Днепропетровск

Описан синтез и свойства ряда модельных уретанов на основе карбофункциональных борсодержащих олиго- и олигоэфироспиртов. Выделенные уретаны отличаются длиной алифатического радикала от атома бора до уретановой группы и структурой карбофункционального радикала. Они представляют собой прозрачные, очень вязкие, застекловывающиеся при комнатной температуре продукты, растворимые в эфирах, кетонах, хлорированных и ароматических углеводородах, хорошо совмещающиеся с эпоксидными, сложноэфирными, уретановыми и другими олигомерами, поливинилхлоридом. Их структура подтверждена элементным анализом, определением молекулярных масс, ИК-спектроскопией.

Органические уретаны на основе индивидуальных диолов, триолов, полиолов и фенилизоцианата (ФИЦ), представляющие собой аморфные порошкообразные вещества, нашли применение в качестве стабилизаторов термоокислительной деструкции полиоксиалкиленгликоляй [1], полиуретановых термопластов [2], модельных систем для изучения процессов термоокислительной деструкции и для сравнительной оценки их устойчивости к термоокислительным процессам [3].

Введение в структуру диольной составляющей модельных уретанов органосилоксанового блока приводит к снижению температуры плавления таких соединений и переходу их в вязкие, застекловывающиеся при комнатных температурах продукты [4–6]. Аналогичными свойствами обладают и модельные уретаны на основе карбофункциональных титансодержащих олигоспиртов и фенилизоцианата [7,8].

Причем, в обоих случаях, устойчивость элементоорганических модельных уретанов к термоокислительной деструкции намного выше их органических аналогов и существенно зависит как от природы и величины элементоорганооксанового блока, так и от структуры обрамляющих радикалов у атома кремния, титана, от структуры и длины алифатического карбофункционального радикала.

Сведения о борсодержащих модельных уретанах в периодической литературе отсутствуют, хотя

имеются указания на то, что присутствие в структуре полимерных материалов (например, полиэфиров) атома бора повышает их устойчивость к термоокислительной деструкции [9].

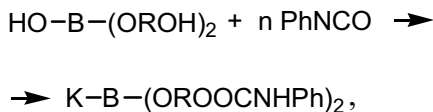
Предполагалось, что введение в структуру спиртовой компоненты атома бора, на внешней оболочке которого имеется всего три электрона (не имеющего полного электронного октета и обладающего большим сродством к электродонорным реагентам или атомам) [9] с одновременным формированием одной из наиболее поляризованных $=\text{B}-\text{O}-$ связи, энергия диссоциации которой составляет 498,67 кДж/моль [9], должно оказаться как на физико-химических свойствах самих модельных уретанов, так и на их устойчивости к термоокислительной деструкции.

В соответствии с вышеизложенным представляло интерес синтезировать модельные уретаны на основе ранее выделенных карбофункциональных борсодержащих олигоспиртов (КБОС) [11] и карбофункциональных борсодержащих олигоэфироспиртов (КБОЭС) [12] и фенилизоцианата, изучить их свойства и оценить устойчивость к термоокислительной деструкции.

Такие данные позволяют расширить информацию о свойствах, ранее не исследованного класса борсодержащих карбофункциональных олигоспиртов и уретанов на их основе, оценить влияние ряда переменных факторов структуры таких соединений, в том числе и введение наиболее поля-

ризованной связи $=B-O-$, на устойчивость к термоокислительному воздействию.

В связи с этим, в данной работе описан синтез ряда модельных уретанов на основе КБОС и КБОЭС и фенилизоцианата, отличающихся природой алифатической диольной (для КБОС) и диольной и кислотной (для КБОЭС) составляющих в карбофункциональном радикале, количеством уретановых групп в молекуле. Реакцию изоцианатного присоединения осуществляли по общей схеме:



где: $K= -OH$ или $PhNHCOO-$; $n=2-3$; $-R$ для (КБОС) — остаток ди-, три-, тетраэтиленгликоля, 1,4-бутиленгликоля; для (КБОЭС) — остаток олигоэфирдиола формулы:



где: $R'=R$; R'' — остаток алифатической насыщенной или ненасыщенной ряда C_2-C_8 или ароматической кислот (или их ангидридов).

Физико-химические константы выделенных уретанов приведены в табл. 1.

Согласно данным табл. 1 в ряду модельных уретанов:

— в уретанах № 2; 6–11 присоединение фенилизоцианата осуществлено только по двум гидроксильным группам в карбофункциональном радикале;

— в соединении № 3 все гидроксильные группы замещены на уретановые, в том числе и гидроксильная группа у атома бора;

— в уретанах № 2 и 4, на основе соответствующих КБОС и фенилизоцианата — изменялась длина алифатического (количество оксиэтиленовых звеньев) диольного радикала в карбофункциональном радикале;

— в уретанах № 6 и 7 — природа диольной составляющей в карбофункциональном радикале;

— в уретанах № 7 и 8 — длина алифатического радикала (количество оксиэтиленовых звеньев) диольной составляющей в карбофункциональном радикале;

— в уретанах № 9, 7, 10 — длина алифатического радикала кислотной составляющей (остаток янтарной, адипиновой и себациновой кислот) в карбофункциональном радикале;

— в уретанах № 7 и 11 природа кислотной составляющей (остаток адипиновой и фталевой кислот соответственно) в карбофункциональном радикале.

В качестве объекта сравнения по методике [10] синтезированы органические аналоги диуре-

танов:

— для ряда диуретанов на основе КБОС — диуретан на основе диэтиленгликоля и фенилизоцианата;

— для ряда диуретанов на основе КБОЭС — диуретан на основе ди(диэтиленгликоль)адипината и фенилизоцианата.

Синтез модельных уретанов 1, 2, 4–11 проводили в идентичных условиях при эквивалентном (на гидроксильные группы в карбофункциональном радикале) соотношении $-OH$ и $-NCO$ групп (в фенилизоцианате), в среде сухого бензола в атмосфере азота и при температуре $60\pm 10^{\circ}C$ (исключающей протекание побочных вторичных реакций), и концентрации на целевой продукт 50 мас.% до исчезновения свободных изоцианатных групп. По окончании реакции смесь фильтровали от возможных следов мочевин, дважды пересаждали из раствора бензола гексаном, сливали растворители и отгоняли их остатки при $80-85^{\circ}C$ и давлении 1–3 мм.рт.ст. до постоянной массы ($\sim 1,5-2$ ч).

Поскольку из предварительно поставленных опытов, было установлено, что фенилизоцианат вступает в реакцию уретанообразования с гидроксильной группой у атома бора только при температурах выше $90^{\circ}C$, то синтез модельного уретана № 3 осуществляли несколько по иной методике. После загрузки в реактор эквивалентной смеси КБОС и фенилизоцианата в атмосфере азота и среде абсолютного бензола, при концентрации 50 мас.% на конечный продукт; содержимое нагревали до $60\pm 10^{\circ}C$ и выдерживали при перемешивании до выхода процентного содержания свободных $-NCO$ групп на постоянный, не меняющийся уровень (соответствующий образованию уретановых групп в карбофункциональных радикалах). Затем температуру реакционной смеси поднимали до $90\pm 10^{\circ}C$ и выдерживали до полного исчезновения в смеси свободных $-NCO$ групп.

Дальнейшие операции по выделению целевого продукта аналогичны вышеописанным.

Все использованные в реакции уретанообразования индивидуальные диолы, олигоэфирдиолы, карбофункциональные борсодержащие олигоспирты и олигоэфирспирты перед синтезом высушивали от следов влаги азеотропной отгонкой их с толуолом. Методика получения исходных КБОС и КБОЭС и их характеристики приведены в работах [11,12].

В качестве моноизоцианата использовали фенилизоцианат (ФИЦ) с характеристиками: $T_{кип}=70^{\circ}C/30$ мм.рт.ст.; $n_D^{20}=1,5362$; $d_4^{20}=1095,2$ кг/м³; содержание свободных $-NCO$ групп, мас.%: найдено 35,22; вычислено 35,30.

ИК-спектры синтезированных уретанов снимали на спектрометре Perkin-Elmer SPECTRUM BX (имитация пленки на AgCl-стекле), в диапазоне $\nu=4000-400$ см⁻¹, с разрешающей способ-

Синтез и свойства модельных уретанов на основе карбофункциональных борсодержащих олигоспиртов и фенилизоцианата

Таблица 1

Физико-химические константы выделенных модельных борсодержащих уретанов на основе карбофункциональных борсодержащих олигоспиртов и фенилизоцианата общей формулы: $K-B\left(-OROOCNHC_6H_5\right)_2$,

где: R – остаток диола или олигоефирида; K = –OH или PhNHCOO–

№ п/п	Формула модельного борсодержащего уретана (МБУ)	Выход, %	$T_{\text{пл}}, {}^{\circ}\text{C}$	n_D^{20}	Содержание бора, мас.% найдено расчитано	Молекулярная масса найдено расчитано	Содержание азота, мас.% (по Кильдалю) найдено расчитано	
							Содержание азота, мас.% (по Кильдалю) найдено расчитано	Содержание азота, мас.% (по Кильдалю) найдено расчитано
1	$H_5C_6HNCOO-CH_2CH_2OCH_2CH_2OOCNHC_6H_5$	95,3	111	–	–	344,01 344,20	4,07 4,07	
2	$HO-B\left(-OCH_2CH_2OCH_2CH_2OOCNHC_6H_5\right)_2$	98,0	–	1,5375	2,25 2,27	480,44 476,05	2,92 2,94	
3	$C_6H_5NHCOO-B\left(-OCH_2CH_2OCH_2CH_2OOCNHC_6H_5\right)_2$	97,9	50	–	1,81 1,82	597,24 595,13	2,34 2,35	
4	$HO-B\left(-OCH_2CH_2OCH_2CH_2OCH_2CH_2OOCNHC_6H_5\right)_2$	9,8	–	1,5340	1,90 1,92	568,95 564,09	2,46 2,48	
5	$H_5C_6HNCOOCH_2CH_2OCH_2CH_2OOC(CH_2)_4COOCH_2CH_2OCH_2CH_2OOCNHC_6H_5$	97,5	–	1,5380	–	559,95	2,50	
6	$HO-B\left(-OCH_2CH_2CH_2OCH_2OOC(CH_2)_4COOCH_2CH_2OCH_2CH_2OOCNHC_6H_5\right)_2$	97,6	46	–	1,27 1,28	851,18 844,25	1,65 1,66	
7	$HO-B\left(-OCH_2CH_2OCH_2CH_2OOC(CH_2)_4COOCH_2CH_2OCH_2CH_2OCH_2CH_2OOCNHC_6H_5\right)_2$	97,1	–	1,5145	1,18 1,19	916,10 908,25	1,53 1,54	
8	$HO-B\left(-OCH_2CH_2OCH_2CH_2OCH_2CH_2OOC(CH_2)_4COOCH_2CH_2OCH_2CH_2OCH_2CH_2OOCNHC_6H_5\right)_2$	96,2	–	1,5040	0,99 1,00	1091,92 1084,33	1,28 1,29	
9	$HO-B\left(-OCH_2CH_2OCH_2CH_2OOC(CH_2)_2COOCH_2CH_2OCH_2OOCNHC_6H_5\right)_2$	95,8	–	1,5210	1,22 1,23	886,07 880,23	1,58 1,59	
10	$HO-B\left(-OCH_2CH_2OCH_2CH_2OOC(CH_2)_8COOCH_2CH_2OCH_2OOCNHC_6H_5\right)_2$	96,9	–	1,4991	1,11 1,12	973,87 964,29	1,44 1,45	
11	$HO-B\left(-OCH_2CH_2OCH_2OOC(H_4)COOCC_6H_4OOCNHC_6H_5\right)_2$	97,0	56	–	1,13 1,14	956,64 946,29	1,46 1,48	

ностью 4 см⁻¹. При расшифровке ИК-спектров пользовались данные, приведенные в [13–16].

Молекулярные массы уретанов определяли с помощью эбулиографа ЭП-68, согласно инструкции на прибор, в среде бензола. Содержание азота определяли по методу Кельдаля [17].

Выделенные борсодержащие модельные уретаны представляют собой однородные, чрезвычайно вязкие, почти бесцветные, прозрачные, закристаллизовывающиеся при комнатной температуре продукты, хорошо растворимые в кетонах, эфирах, ароматических, галоидированных углеводородах, аprotонных растворителях; не растворимые в неполярных растворителях типа петролейный эфир, пентан, гексан, гептан и т.п.

Они хорошо совмещаются с эпоксидными, сложноэфирными, уретановыми олигомерами, поливинилхлоридом и другими полярными смолами и каучуками.

Примеры ИК-спектров образцов модельных уретанов (уретаны № 1 — базовый на основе диэтиленгликоля и № 2–4 на основе КБОС; уретаны № 5 — базовый на основе ди(диэтиленгликоль)адипината и № 6–11 на основе КБО-ЭС) приведены на рис. 1 и 2 соответственно; спектральные характеристики полос поглощения уретанов с их расшифровкой — в табл. 2 и 3 соответственно.

Как видно из приведенных в таблицах харак-

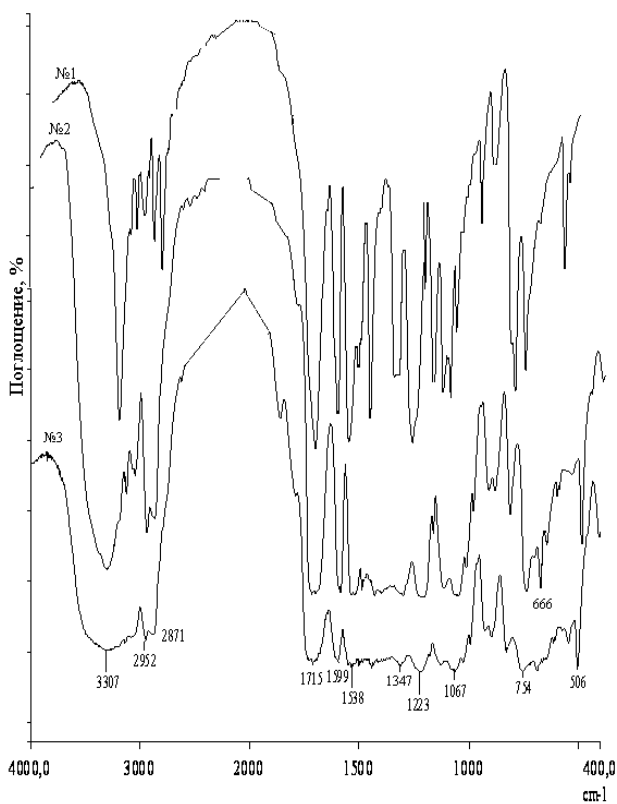


Рис. 1. ИК-спектры выделенных модельных уретанов:
№ 1 — базовый на основе диэтиленгликоля;
№ 2 — дизамещенный; № 3 — тризамещенный (табл. 1)

Таблица 2

**Характеристики полос поглощения модельных борсодержащих уретанов на основе диэтиленгликоля
(базовый вариант) и КБОС (табл. 1)**

Полосы поглощения	Базовый № 1	уретан № 2	уретан № 3	уретан № 4
Валентные =N—H уретановой группы, 3500–3200 см ⁻¹	3307 оч.с.	3306 оч.с.	3307 оч.с.	3305 оч.с.
Валентные связанные =N—H группы (чис), 3180–3140 см ⁻¹	3136 сп.	3138 сп.	3136 сп.	3136 сп.
Валентные ароматического радикала, 3100–3070 см ⁻¹	3060 сл.	3061 сл.	3061 сл.	3061 сл.
Валентные ассиметричные —CH ₂ —, 2940–2915 см ⁻¹	2970 оч.с.	2952 оч.с.	2952 оч.с.	2949 оч.с.
Валентные симметричные —CH ₂ —, 2898–2857 см ⁻¹	2897 оч.с.	2885 оч.с.	2878 оч.с.	2874 оч.с.
Карбонил в уретановой группе —CO—O—, 1750–1717 см ⁻¹	1708 оч.с.	1714 оч.с.	1715 оч.с.	1731 оч.с.
Колебания ароматического кольца, 1610–1590 см ⁻¹	1601 оч.с.	1600 оч.с.	1599 оч.с.	1599 оч.с.
Деформационные колебания =N—H группы, 1540–1515 см ⁻¹	1548 оч.с.	1537 оч.с.	1538 оч.с.	1537 оч.с.
Деформационные —CH ₂ —, 1480–1440 см ⁻¹	1445 оч.с.	1445 оч.с.	1445 оч.с.	1445 оч.с.
=B—O—B=, 1380 см ⁻¹	—	—	—	—
Валентные =B—O—, 1305–1350 см ⁻¹	—	1347 оч.с.	1347 оч.с.	1347 оч.с.
Деформационная C—O (карбонил), 1310–1250 см ⁻¹	1314 оч.с.	1314 оч.с.	1306 оч.с.	1315 оч.с.
Валентные ассиметричные —C—O—C—, 1254–1233 см ⁻¹	1242 оч.с.	1229 оч.с.	1223 оч.с.	1225 оч.с.
Валентные симметричные —C—O—C—, 1180 см ⁻¹	1181 оч.сл.	1179 оч.сл.	1179 оч.сл.	1174 оч.сл.
Валентные —C—N=, 1150–1080 см ⁻¹	1138 оч.с.	1129 оч.с.	1129 оч.с.	1174 оч.с.
Валентные —C—N=, 1120–1030 см ⁻¹	1094; 1058 оч.с.	1068; 1030 оч.с.	1067; 1026 оч.с.	1070; 1026 оч.с.
Валентные ≡C—C≡, 995 см ⁻¹	997 сл.	996 сл.	993 сл.	996 сл.
Неплоские деформационные колебания ≡C—H монозамещенного бензола, 770–730 или 710–690 см ⁻¹	767; 747; 697 с.	756; 693 с.	754 с.	757; 693 с.
Деформационные HO—BO ₂ , 673–653 см ⁻¹	—	666 сп.	—	669 сп.
Внеплоскостные деформационные колебания =N—H, 630–530 см ⁻¹	506 сп.	507 сп.	506 сп.	508 сп.

Таблица 3

Характеристики полос поглощения модельных борсодержащих уретанов на основе ди(диэтиленгликоль)адипината (базовый вариант) и КБОЭС (табл. 1)

Полосы поглощения	Базовый № 5	уретан № 6	уретан № 7	уретан № 8	уретан № 9	уретан № 10	уретан № 11
Валентные $=\text{N}-\text{H}$ уретановой группы, $3500-3200 \text{ см}^{-1}$	3329 оч.с.	3342 оч.с.	3338 оч.с.	3332 оч.с.	3339 оч.с.	3333 оч.с.	3341 оч.с.
Валентные связанные $=\text{N}-\text{H}$ группы (цик), $3180-3140 \text{ см}^{-1}$	3136 ср.	3137 ср.	3137 ср.	3136 ср.	3137 ср.	3137 ср.	3137 ср.
Валентные ароматического радикала, $3100-3070 \text{ см}^{-1}$	3059 ср.	3057 ср.	3060 ср.	3060 ср.	3061 ср.	3061 ср.	3066 ср.
Валентные ассиметричные $-\text{CH}_2-$, $2940-2915 \text{ см}^{-1}$	2952 оч.с.	2955 оч.с.	2951 оч.с.	2944 оч.с.	2953 оч.с.	2931 оч.с.	2952 оч.с.
Валентные симметричные $-\text{CH}_2-$, $2898-2857 \text{ см}^{-1}$	2875 оч.с.	2875 оч.с.	2870 оч.с.	2875 оч.с.	2879 оч.с.	2858 оч.с.	2878 оч.с.
Карбонил в уретановой группе $-\text{CO}-\text{O}-$, $1750-1717 \text{ см}^{-1}$	1731 оч.с.	1731 оч.с.	1731 оч.с.	1731 оч.с.	1733 оч.с.	1732 оч.с.	1731 оч.с.
Колебания ароматического кольца, $1610-1590 \text{ см}^{-1}$	1599 оч.с.	1600 оч.с.	1599 оч.с.	1599 оч.с.	1599 оч.с.	1599 оч.с.	1599 оч.с.
Деформационные колебания $=\text{N}-\text{H}$ группы, $1540-1515 \text{ см}^{-1}$	1538 оч.с.	1538 оч.с.	1544 оч.с.	1538 оч.с.	1543 оч.с.	1539 оч.с.	1538 оч.с.
Деформационные $-\text{CH}_2-$, $1480-1440 \text{ см}^{-1}$	1445 оч.с.	1445 оч.с.	1445 оч.с.				
$=\text{B}-\text{O}-\text{B}=$, 1380 см^{-1}	—	—	—	—	—	—	—
Валентные $=\text{B}-\text{O}-$, $1305-1350 \text{ см}^{-1}$	—	1351 с.	1347 с.	1347 с.	1347 с.	1347 с.	1347 с.
Деформационная $\text{C}-\text{O}$ (карбонил), $1310-1250 \text{ см}^{-1}$	1314 с.	1315 с.	1315 с.	1314 с.	1315 с.	1314 с.	1287 с.
Валентные ассиметричные $-\text{C}-\text{O}-\text{C}-$, $1254-1233 \text{ см}^{-1}$	1222 оч.с.	—	1222 оч.с.	1222 оч.с.	1223 оч.с.	1222 оч.с.	1222 оч.с.
Валентные симметричные $-\text{C}-\text{O}-\text{C}-$, 1180 см^{-1}	1179 сл.	—	1174 сл.	1174 сл.	1166 ср.	1174 сл.	1179 сл.
Валентные $-\text{C}-\text{N}=$, $1150-1080 \text{ см}^{-1}$	1133 оч.с.	1141 оч.с.	1132 оч.с.	1132 оч.с.	1133 оч.с.	1130 оч.с.	1126 оч.с.
Валентные $-\text{C}-\text{N}=$, $1120-1030 \text{ см}^{-1}$	1070; 1031 оч.с.	1064; 1026 оч.с.	1069; 1031 оч.с.	1069; 1031 оч.с.	1069; 1031 оч.с.	1069 оч.с.	1071 оч.с.
Валентные $\equiv\text{C}-\text{C}\equiv$, 995 см^{-1}	996 сл.	997 сл.	996 сл.	996 сл.	996 сл.	996 сл.	996 сл.
Неплоские деформационные колебания $\equiv\text{C}-\text{H}$ монозамещенного бензола, $770-730$ или $710-690 \text{ см}^{-1}$	757; 694 с.	756; 693 с.	758; 694 с.	758; 695 с.	759; 695 с.	756; 694 с.	747; 694 с.
Деформационные $\text{HO}-\text{BO}_2$, $673-653 \text{ см}^{-1}$	—	668 ср.	672 ср.	672 ср.	671 ср.	669 ср.	665 ср.
Внеплоскостные деформационные колебания $=\text{N}-\text{H}$, $630-530 \text{ см}^{-1}$	508 ср.	507 ср.	508 ср.	508 ср.	508 ср.	508 ср.	508 ср.

теристик полос поглощения модельных уретанов № 1–4 (табл. 1) на основе КБОС с диэтилен- и триэтиленгликольным остатком в карбофункциональном радикале, наличие интенсивных полос поглощения в области $3306\pm1 \text{ см}^{-1}$, $1720\pm12 \text{ см}^{-1}$, $1548-1537 \text{ см}^{-1}$, характерных для связей: $=\text{N}-\text{H}$ (валентных), $=\text{C}=\text{O}$ (карбонильных), $=\text{N}-\text{H}$ (деформационных), подтверждает структуру выделенных уретанов. Причем, смещение этих полос в длинноволновую область (например, для карбонила $=\text{C}=\text{O}$ с 1720 см^{-1} до 1731 см^{-1}) свидетельствует об увеличении межмолекулярных взаимодействий (в том числе и координационных) с введением атома бора в структуру исходного диола.

Отсутствие полос поглощения в области 2270 см^{-1} и $1690-1640 \text{ см}^{-1}$, характерные для свободной $-\text{NCO}$ и мочевинных групп соответственно [18], также подтверждает строение выделенных модельных уретанов.

Кроме того, отсутствие в уретанах полосы поглощения в области 1380 см^{-1} , характерной для связи $=\text{B}-\text{O}-\text{B}=$, также косвенно подтверждает структуру, ранее синтезированных КБОС и использованных на данной стадии, в реакции уретанообразования.

Во всех модельных уретанах присутствуют полосы поглощения в области $3060\pm10 \text{ см}^{-1}$ и 1600 см^{-1} , характерные для колебаний сопряжен-

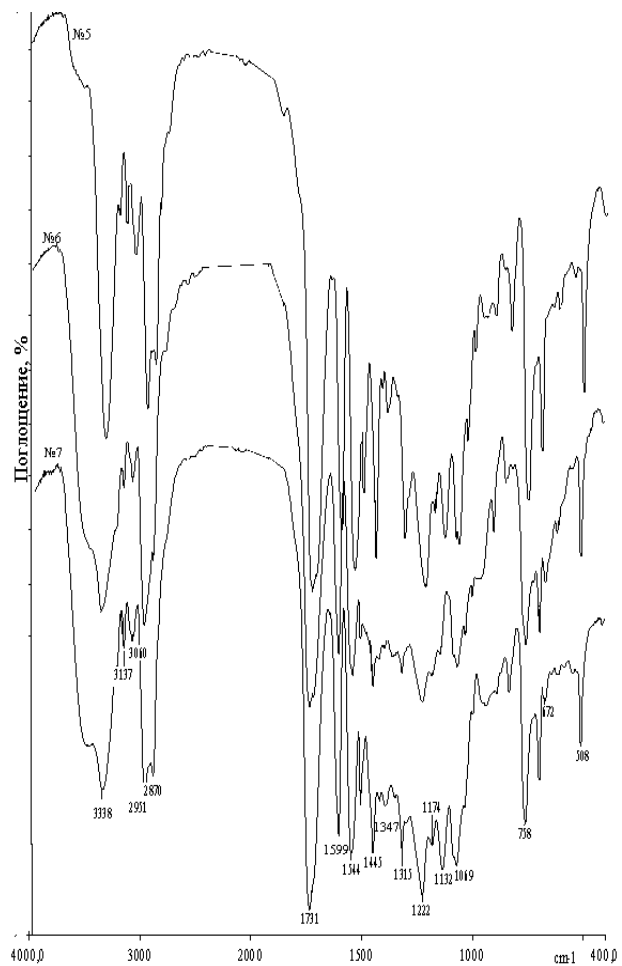


Рис. 2. ИК-спектры выделенных модельных уретанов:
№ 5 — базовый на основе ди(диэтиленгликоль)адипината;
№ 6; № 7 (табл. 1)

ных связей ароматического радикала при уретановой группе.

В ИК-спектрах уретанов № 2—4 (кроме базового уретана № 1 на основе диэтиленгликоля), присутствуют полосы поглощения в области $1304\pm 8 \text{ см}^{-1}$, характерные для связи $=\text{B}-\text{O}-$. В то же время, в ИК-спектрах уретанов № 1 и 3 отсутствуют полосы поглощения в области 3446 см^{-1} и 666 см^{-1} , характерные для свободных и связанных $-\text{OH}$ групп у атома бора соответственно.

Остальные спектральные характеристики соответствуют характеристикам исходных диолов и КБОС, что подтверждает структуру выделенных модельных уретанов, а сдвиг некоторых из них в длинноволновую область свидетельствует об усилении межмолекулярных взаимодействий с введением атома бора в их структуру.

Что касается ИК-спектральных характеристик, приведенных в табл. 3, и касающихся подтверждения структуры уретанов № 5—11 (на основе олигоэфирдиола и КБОС), то они полностью подтверждают структуру выделенных модельных уретанов.

В ИК-спектрах этих соединений также присутствуют интенсивные полосы поглощения в области $3342\pm 4 \text{ см}^{-1}$, $1732\pm 1 \text{ см}^{-1}$, $1540\pm 3 \text{ см}^{-1}$, характерные для связей $=\text{N}-\text{H}$ (валентных), $=\text{C}=\text{O}$ (карбонильных), $=\text{N}-\text{H}$ (деформационных) уретановой группировки соответственно. А еще в большей степени сдвиг полос поглощения в длинноволновую область, свидетельствует о еще большем возрастании взаимодействий физического характера (в том числе и координационных) с введением в структуру диольной компоненты синтезированных уретанов, наряду с атомом бора, и сложноэфирных групп.

В ИК-спектрах уретанов № 6—11 присутствует широкая полоса поглощения в области 3446 см^{-1} и пик в области 666 см^{-1} , характерные для связанной и свободной $-\text{OH}$ групп у атома бора.

Наличие в ИК-спектрах уретанов этих основных полос поглощения подтверждает структуру выделенных уретанов. Остальные ИК-спектральные характеристики уретанов № 5—11 полностью совпадают с ИК-спектрами исходных КБОС.

Экспериментальная часть

Синтез модельного борсодержащего уретана № 2 (табл. 1)

В четырехгорный реактор, снабженный мешалкой, прямым холодильником, термометром, трубкой для подвода азота, загружают 2,38 г (0,02 моль) фенилизоцианата и 2,38 г абсолютного бензола. Реактор продувают инертным газом (азотом) и при непрерывном перемешивании добавляют раствор 2,42 г (0,01 моль) карбофункционального борсодержащего олигоспирта № 1 (табл. 1) в 2,42 г абсолютного бензола. Концентрация реакционной смеси составляла 50 мас.% на конечный продукт. Реакцию проводят при непрерывном перемешивании, при температуре 60°C (для предотвращения протекания побочных реакций) на протяжении 4 ч. Через каждые 0,5 ч реакционную смесь анализируют на содержание остаточных свободных $-\text{NCO}$ групп, и если их количество прекращало, изменяется в течение 60 мин, смесь охлаждают до 20°C . Далее в реактор добавляют при перемешивании 50 г гексана, и сливают смесь гексана с бензолом, остаток вновь растворяют в абсолютном бензоле и высаживают при перемешивании в гексан. На последней стадии сливают смесь гексана с бензолом, а остаток вакуумируют от летучих при 110°C и давлении 5—10 мм.рт.ст. до достижения постоянной массы (~2 ч). Полученный олигомерный продукт, вязкий при 20°C , по своим характеристикам соответствует модельному борсодержащему уретану № 2 (табл. 1).

Остальные модельные борсодержащие уретаны (за исключением уретана № 3) были синтезированы по аналогичной методике.

Синтез и свойства модельных уретанов на основе карбофункциональных борсодержащих

Таким образом, в результате выполненной работы:

— впервые синтезированы и описаны модельные уретаны на основе карбофункциональных борсодержащих олигоспиртов и олигоэфироэспиртов;

— изучены физические и химические (растворимость в растворителях) свойства, ИК-спектральные характеристики; определены молекулярные массы и элементный состав, подтверждающие их структуру.

СПИСОК ЛИТЕРАТУРЫ

1. Окунев П.А., Тараканов О.Г. Механизм термоокислительной деструкции полиоксипропиленгликолов // Высокомол. соед. Сер. А 10. — 1968. — № 1. — С.173-182.

2. Тараканов О.Г., Кондратьева Л.Н., Невский Л.В. Влияние некоторых функциональных групп на термоокислительную деструкцию полиоксипропиленгликолов // Пласт. массы. — 1970. — № 6. — С.36-37.

3. Синтез уретанов с силариленовым звеном в структуре и исследование их термической деструкции / В.П. Кузнецова, Н.Я. Кузьменко, Л.Л. Червяцова, А.А. Качан // Высокомол. соед. Сер. А 15. — 1973. — № 6. — С.1323-1329.

4. Бугрым В.В., Кузьменко Н.Я. Синтез кремнийорганических уретанов // Вопр. химии и хим. технологии. — 1983. — Вып. 72. — С.45-50.

5. Кузьменко Н.Я., Бугрым В.В. Синтез и исследование термоокислительной деструкции кремнийорганических уретанов // Высокомол. соед. Сер. А 27. — 1985. — № 5. — С.931-937.

6. Кузьменко Н.Я., Бугрым В.В. Влияние величины фенилсиликсанового блока на термостойкость уретанов // Вопр. химии и хим. технологии. — 1988. — Вып. 86. — С.78-83.

7. Кузьменко С.Н., Бурмистр М.В., Кузьменко Н.Я. Синтез и свойства уретанов на основе титансодержащих

олигоспиртов // Вопр. химии и хим. технологии. — 2006. — № 6. — С.114-117.

8. Кузьменко С.Н., Бурмистр М.В., Кузьменко Н.Я. Термоокислительная деструкция титансодержащих модельных уретанов // Вопр. химии и хим. технологии. — 2007. — № 5. — С.102-110.

9. Коршик В.В., Замятина В.А., Бекасова Н.И. Бороганические полимеры. — М.: Наука, 1975. — 256 с.

10. Танака Такэхидэ, Танака Рюити, Рёке Хидэясу. Полимеризационный метод получения полиуретанов, содержащих атомы кремния в основной цепи // J. Chem. Soc. Japan, Industr. Chem. Sec. — 1968. — Vol.71. — № 12. — С.2072-2076.

11. Кузьменко М.Я., Бугрым М.В. Синтез и свойства карбофункциональных борсодержащих олигоспиртов, полученных этерификацией борной кислоты диолами при мольном соотношении 1:(2-3) // Вопр. химии и хим. технологии. — 2011. — № 5. — С.26-33.

12. Кузьменко М.Я., Бугрым М.В. Синтез и свойства карбофункциональных борсодержащих олигоэфироэспиртов // Вопр. химии и хим. технологии. — 2011. — № 6. — С.49-56.

13. Джерард В. Химия органических соединений бора: Пер. с англ. — М.: Химия, 1966. — 320 с.

14. Грень А.И., Кузнецов В.В. Химия циклических эфиров борных кислот. — К.: Наук. думка, 1988. — 159 с.

15. Казицына Л.А., Куплетская Н.Б. Применение УФ-, ИК- и ЯМР-спектроскопии в органической химии. — М.: Высш. шк., 1971. — 264 с.

16. Ватулов В.Н., Лаптий С.В., Керча Ю.Ю. Инфракрасные спектры и структура полиуретанов. — К.: Наук. думка, 1987. — 188 с.

17. Практическое руководство по анализу мономерных и полимерных кремнийорганических соединений / Ред. Крешков А.П., Борк В.А., Бондаревская Е.А., Мышиляева Л.В., Сявцилло С.В., Шемятенкова В.Т.. — М.: Госхимиздат, 1962. — 544 с.

18. Копустов Л.И., Жарков В.В. Спектральный анализ эластичных полиуретанов // Пласт. массы. — 1972. — № 9. — С.66-67.

Поступила в редакцию 2.02.2012